

II - 5 継波に関する実験的研究

北海道大学工学部 正員 五十嵐 日出夫

○北海道大学工学部 正員 佐藤 章雄

I. まえがき

我が国の沿岸を襲つて甚大な被害を与えた去3津波（昭和35年5月24日チリ沖地震津波が霧多布を襲つた例。）や風浪がSurf zoneで碎けた岸に打ち寄せるような碎け波は、従来長波、孤立波、あるいは継波などに想定され、多くの人々により研究されて来た。しかしこれららの波が海岸を越える場合、海岸に構築された海岸堤防や防波堤に衝突する場合、あるいはV字型湾部に進入する場合につれての波の諸性質は未だ解明されず、本実験ではこれららの点に着目し、基礎的研究を試みた。

II. 実験装置

本実験に使用した設備は、長さ15.02m、幅1.07m、深さ0.7mの長方形断面の水路で、両端に真空ポンプによる吸上げ式造波器を設置したもので、造波水槽内に吸上げられた水を急激に降下させることによって、

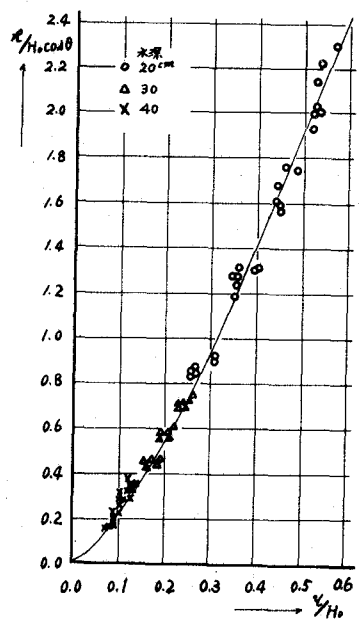
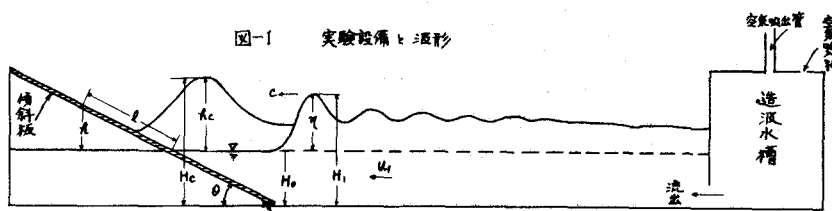
水路内に波を発生させた。この様な設備により発生させられた長波は、水

門よりモグラオリフィスを通して流出する様な衝力波で、波状波に類似した特性を有する波である。波形および実験設備の概略は図-1に示す通りである。波高の測定については、電気抵抗式波高計を使用し、ペン書きオッショグラフに記録させた。

III. 波の越上り

測定の方法は、水路の一端の造波水槽のみを使用し、他端には松材の表面を良く研磨した傾斜板を設置し、又傾斜板と水路底とは蝶版により取付け、傾斜板の角度 θ を任意に変えられるようになした。傾斜板上には2cm目盛のScaleを附し、波の越上りの値 η を読み取り、同時に越上り直前の波高 H_0 を測定した。本実験では水深 H_0 が20cm, 30cm, 40cm、傾斜板角度が、 $10^\circ \leq \theta \leq 45^\circ$ の範囲の場合について測定を行ひ、越上りの鉛直高 η を、波高 H_0 、角度 θ 、および水深 H_0 の間の関係について調べてみた。縦軸に $\eta/H_0 \cos \theta$ 、横軸に η/H_0 をとり無次元座標系上に測定値をプロットすると、図-2の如き曲線となる。この図より、波の越上り高 η は、傾斜板の角度 θ が小さくなる程大きくなり、 θ が大きくなる程

図-1 実験設備と波形



長の値は小さくなる。この事実は傾斜が直な場合に遇上りと云うよりも、むしろ衝突の性質が強いためであると思われる。

IV. 波の反射

波が傾斜板上を遇上った後の反射波についても遇上りの測定と同時に行い、傾斜板直前の波高計により反射波の高さを測定した。測定値の整理には、縦軸に H_c/H_0 、横軸に η/H_0 の値をとり無次元座標系上に各角度毎に測定値をプロットしてみると図-3の如くなり、図上に垂直壁に衝突し反射した場合の測定値をプロットしてみた。図-3から遇上りの場合とは傾向が反対で傾斜板の角度 θ が大きくなるにつれて反射波の波高も大きくなり、垂直壁、即ち $\theta = 90^\circ$ の場合の値に近づく。又この様な傾向は $\eta/H_0 > 0.3$ の場合に顕著であり、 $\eta/H_0 < 0.3$ の場合は、余り日の影響はないと言える。

図上の曲線は Stoker の理想緩波が垂直壁に衝突し反射した場合の理論式²⁾。

$$\frac{H_c}{H_0} = \left(\frac{H_1}{H_0} \right)^{\frac{3}{2}} \quad \cdots \cdots \cdots (1)$$

H_0 : 水深, H_1 : 入射波水深, H_c : 反射波水深である。この式は垂直壁の場合の実験測定値と良く適合されることが既に確かめられたものである。

V. 狹窄部進入

本実験では、3.50m の傾斜板を水路断面を漸縮するように設置し 1:15, 1:12, 1:10, 1:8, 1:5 の 5 種類の傾斜について、狭窄部進入による波高の変化並びに垂直壁との衝突波の高さを測定した。波高の変化については Green の湾の幅および水深変化による津波の変化の式

$$\frac{\eta_1}{\eta_2} = \left(\frac{B_2}{B_1} \right)^{\frac{1}{2}} \left(\frac{H_{01}}{H_{02}} \right)^{\frac{1}{4}} \quad \cdots \cdots \cdots (2)$$

η_1, η_2 は幅 B_1, B_2 , 水深 H_{01}, H_{02} の位置の波高

に於いて、本実験では $H_{01} = H_{02} = H_0$ であるから

$$(2) \text{ 式は } \frac{\eta_1}{\eta_2} = \left(\frac{B_2}{B_1} \right)^{\frac{1}{2}} \quad \cdots \cdots \cdots (3)$$

(3) 式を使って計算値を求め測定値と比較してみるとよく一致することは認められた。又衝突波の高さについて、縦軸に H/H_0 、横軸に H_0/H_0 をとり測定値をプロットすると図-4 の如くなり、波が変形されない場合の式

$$\frac{H}{H_0} = \left(\frac{H_1}{H_0} \right)^2 \quad \cdots \cdots \cdots (4)$$

H = 衝突波水深 と比較的合うことが認められる。

参考文献 物理水力学 (波動) 岸 力

The Formation of Breakers and Bores J.J. Stoker

